

ارزیابی حساسیت دینامیک کشنده نیمروزانه M2 به تغیرات مکانی ناهمواری بستری در تنگه هرمز

اکبر رشیدی ابراهیم حصاری^{*}، سیده مرضیه حسینی^۱

akbar.rashidi@modares.ac.ir

^۱ استادیار، گروه فیزیک دریا، دانشکده علوم دریایی، دانشگاه تربیت مدرس، نور

s.marzieh.hosseini@gmail.com ^۲ کارشناس ارشد فیزیک دریا، گروه فیزیک دریا، دانشکده علوم دریایی، دانشگاه تربیت مدرس، نور

تاریخ پذیرش: ۹۶/۱۰/۰۳

تاریخ دریافت: ۹۶/۰۶/۲۰

چکیده

در این مطالعه، برای ارزیابی حساسیت دینامیک کشنده به تغیرات مکانی ناهمواری بستر دریا در تنگه هرمز از نسخه تغییریافته مدل سه بعدی هیدرستاتیکی اجزاء متناهی QUODDY-4 استفاده شد. تفاوت این نسخه با نسخه اصلی در مدلولی است که برای محاسبه ضریب درگ بستری به مدل اضافه شده است. توزیع مکانی ضریب درگ بستری با استفاده از یک راهکار هیدرودینامیکی محاسبه شد که در آن ارتباط فاکتور اصطکاک موجی و دیگر مشخصه های اصطکاک در لایه مرزی بستری با پارامتر های بدون بعدی مانند عدد سطحی راسی، عدد رینولدز برای جریان و فرکанс اینرسی نسبی توصیف می شود. مقایسه نتایج شبیه سازی های عددی انجام شده با داده های مشاهداتی مربوط به دامنه و فاز کشنده نشان می دهد مدل مورد استفاده دقت بالایی در باز تولید دینامیک کشنده در منطقه مورد مطالعه دارد. نتایج این پژوهش نشان می دهد که ضریب درگ بستری در تنگه هرمز از ۰/۰۰۴ تا ۰/۰۰۰۴ متغیر است و از مقدار معمول مورد استفاده در مدل های عددی ۰/۰۰۳ کمتر است. در نظر گرفتن ضریب درگ متغیر محاسبه شده در این مطالعه می تواند به منظور بهبود کیفی پیش بینی های کشنده در تنگه هرمز مورد استفاده قرار گیرد.

واژه های کلیدی: تنگه هرمز، دینامیک کشنده، ضریب درگ بستری

۱. مقدمه

امروزه مدل های عددی مبتنی بر روش اجزاء متناهی مقبولیت بیشتری یافته اند؛ زیرا به سادگی با هندسه پیچیده و نامنظم محیط سازگار می شود. در این مطالعه به منظور باز تولید کشنده و جریان های کشنده با تمرکز بر نقش تغیرات مکانی ناهمواری بستری در تنگه هرمز از نسخه تغییریافته یک مدل اجزاء متناهی سه بعدی با عنوان QUODDY-4 استفاده شده است.

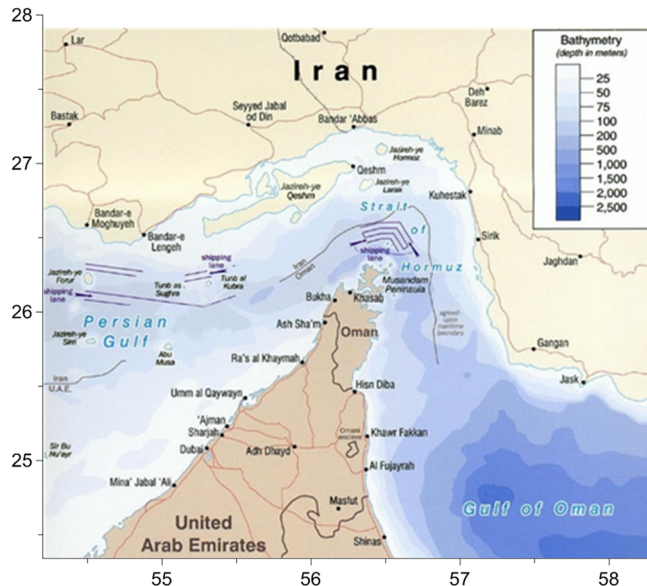
خليج فارس يك محيط نيمه بسته کم عمق دريایي است که از نظر نظامي، اقتصادي و سياسي يكى از آبراههای بسيار مهم راهبردي در جهان به شمار می رود. خليج فارس از طريق تنگه

در دهه های گذشته مطالعه کشندهای اقianoسی هدف بسیاری از فيزيكى دانان و رياضي دانان بوده است. با توجه به دشواری های موجود و هزينه بر بودن اندازه گيری های ميداني، استفاده از مدل های عددی کشنده مقرن به صرفه و اجتناب ناپذير است. از ديرياز تاکنون مدل های عددی بسیاری برای بررسی کشنده در محیط های اقianoسی ارائه و استفاده شده اند. در خليج فارس نيز با توجه به كمبود اطلاعات ميداني رو يك در گسترهای نسبت به مدل سازی کشنده و تحليل ثوابت هارمونيك کشنده (اعم از دامنه و فاز) ايجاد شده است.

مؤلفه نیمروزانه M_2 که مهم‌ترین مؤلفه کشندي در محیط مورد مطالعه است، اکتفا شده است.

بیش از دو دهه از پرتاب ماهواره تایپیکس/پوزیدون می-گذرد. تاکنون داده‌های ترازو سنگی این ماهواره در بیش از ۲۰ مدل جهانی کشندي مورداستفاده قرار گرفته است. خطای این مدل‌ها در وسط اقیانوس‌ها کمتر از دو سانتی‌متر و در دریاهای کم عمق و مناطق ساحلی بین $2/4$ تا $293/2$ سانتی‌متر گزارش شده است [۳]. سؤال این است که دلیل چنین تفاوتی در دقت مدل‌های کشندي در آب‌های آزاد و مناطق کم عمق ساحلی چیست؟ از بین همه دلایل محتمل، به نظر می‌رسد نارسایی مدل‌ها در محاسبه تنش بستری مهم‌تر از بقیه باشد [۴]. تنش بستری مهم‌ترین عامل در شکل‌گیری کشند در آب‌های کم عمق محسوب می‌شود. تنش بستری نه تنها مسئول دگرش انرژی کشندی و انعکاس امواج کشندی است، بلکه نقش بسزایی را در تشکیل شکل‌های گوناگون بستر، سواحل و تغییرات درازمدت مورفو‌دینامیکی سواحل ایفا می‌کند. از آنجاکه در محیط‌های کم عمق اقیانوسی نیروی کشند ارتباط تنگاتنگی با تنش بستری دارد، بنابراین هرگونه تلاش برای فهم، بازنگری و پیش‌بینی میدان کشندی مستلزم دقت بیشتر در محاسبه تنش

بستری خواهد بود [۵-۷].



شکل ۱. موقعیت جغرافیایی تنگه هرمز به عنوان راه ارتباطی خلیج فارس
برگرفته از وبسایت کتابخانه اسناد یوتگراس

کم عمق است [۳]. این کمیت اغلب با قانون درجه دوم اصطکاکی با ضریب درگ ثابت 0.0026 یا با ضریب درگ

هرمز به دریای عمان و اقیانوس هند متصل می‌شود. تنگه هرمز تقریباً در موقعیت جغرافیایی ۲۶ درجه و 5° دقیقه تا ۲۷ درجه و 5° دقیقه شمالی و 55 درجه و 30° دقیقه تا 56 درجه و 45° دقیقه شرقی واقع شده است (شکل ۱). اهمیت این تنگه از آن جا آشکار می‌شود که در هر شش دقیقه یک کشتی اقیانوس‌پیما از این تنگه عبور می‌کند. عرض تنگه هرمز 56 کیلومتر و بیشترین عمق آن 110 متر است [۲-۱].

کشند در اقیانوس هند از طریق دریای عمان و تنگه هرمز وارد خلیج فارس می‌شود. بین کشند در خلیج فارس و تنگه هرمز تشدید روی می‌دهد. کشندهای خلیج فارس امواج ایستاده پیچیده‌ای هستند و الگوی غالب کشند، از نوع روزانه M_2 شامل مؤلفه‌های O_1 و K_1 و نیم‌روزانه شامل مؤلفه‌های S_2 است. دامنه کشند در خلیج فارس در برخی نقاط به بیش از یک متر می‌رسد. در این مطالعه مؤلفه نیم‌روزانه M_2 به عنوان مطالعه موردی بهمنظور بررسی حساسیت دینامیک کشند به تغییرات ناهمواری بستری دریا موردنبررسی قرار می‌گیرد. بر اساس مطالعات تکمیلی برای مؤلفه‌های دیگر، نتایج مشابهی به دست آمد. بدین جهت در این مقاله به نتایج

امروزه به روشنی ثابت شده است که اصطکاک بستری یکی از عوامل اصلی کنترل کننده دینامیک کشندهای در آب‌های

میانگین در کanal‌های سیال روباز معروفی شد. با استفاده از این رابطه سرعت میانگین با استفاده از عدد مانینگ به ناهمواری بستری به شکل $V = \frac{k}{n} R_h^{2/3} S^{1/2}$ مربوط می‌شود؛ که در آن k ضریب تبدیل از واحد متربیک به سیستم واحد U.S. (سیستم واحد و اندازه‌گیری موسوم به واحد انگلیسی)؛ n عدد مانینگ مرتبط با ناهمواری بستری؛ R_h شعاع هیدرولیکی و S شیب بستری کanal هستند. در مطالعه یادشده عدد مانینگ در محدوده استان هرمزگان $s / m^{1/3}$ ۵۵ و در انتهای شمال غربی خلیج فارس تا $s / m^{1/3}$ ۷۵ برآورد شد [۱۵].

در مطالعه‌ای دیگر و با روش مشابهی، رنجی و سلطانپور در سال ۱۳۹۲ حساسیت مدل مایک ۲۱ به ضریب زبری بستری و بررسی دقیق نتایج شبیه‌سازی با این مدل را به روش محاسبه ضریب زبری بستری با استفاده از ضریب مانینگ موردنبررسی قرار دادند [۱۶].

اساس هر دو مطالعه گفته شده اخیر روش نیمه تجربی محاسبه ضریب زبری بستر است.

با توجه به مطالب قبل در خصوص اهمیت ضریب درگ بستری، در این مطالعه با استفاده از یک راهکار هیدرودینامیکی که برای محاسبه ضریب درگ بستری توسط کاگان ارائه شده است [۱۷-۱۸]، توزیع مکانی ضریب درگ بستری متناسب با تغییرات مکانی ناهمواری بستری دریا در تنگه هرمز محاسبه شده است.

۲. مواد و روش‌ها

در این مطالعه یک راهکار هیدرودینامیکی برای محاسبه ضریب درگ بستری مورداستفاده قرار گرفت. این روش به وسیله کاگان [۱۷-۱۸]، معرفی و در مطالعات متعددی برای دریای سفید، یک حوزه آزمایشگاهی و حوزه اروپای شمالی مورداستفاده قرار گرفته است [۲، ۴، ۱۹، ۲۰، ۲۱]. در این روش، بستر دریا بر اساس مقایسه ارتفاع ناهمواری‌های بستری با ضخامت لایه ناروان بستری به سه نوع هموار، نیمه هموار و ناهموار تقسیم می‌شوند. چنانچه ارتفاع اجزاء ناهمواری بستری از ضخامت لایه ناروان کوچک‌تر باشند،

متناسب با لگاریتم طول ناهمواری بستر دریا محاسبه می‌شود. این مقدار برای اولین بار به وسیله تیلور^۱ در سال ۱۹۱۹ برای دریای ایریش^۲ معرفی شد [۸]. در هر دو مورد، ضریب درگ ثابت فرض می‌شود. با وجود این، داده‌های مشاهداتی نشان می‌دهند که ضریب درگ بستری ثابت در مناطق مختلف محیط‌های اقیانوسی ثابت نیست. اگر نوع و اندازه عناصر ناهمواری بستر دریا تغییر کند، طول ناهمواری بستر دریا و درنتیجه ضریب درگ بستری نیز تغییر خواهد بود [۹]. حل معادله‌های حاکم بر دینامیک کشنده [۱۰-۱۲] نشان داد که تغییرات ضریب درگ بستری از ناحیه‌ای به ناحیه دیگر متناسب با ساختار و اندازه اجزاء سازنده بستر، همچنین موقعیت اجزاء ناهمواری بستری نسبت به یکدیگر، می‌تواند از ۰/۰۰۰۶ تا ۰/۰۲۰ متغیر باشد. حساسیت دینامیک کشنده در مناطق کم عمق در مطالعه‌های متعدد دیگر نیز مورد تأیید قرار گرفت [۱۳، ۱۴، ۳].

با توجه به تفاوت دقت مدل‌های کشنده در اقیانوس باز و آب کم عمق می‌توان این گونه استدلال نمود که در ظاهر توصیف‌های متفاوتی از اصطلاحات بستر (یکی از فاکتورهای اصلی شکل گیری کشنده در مناطق کم عمق)، ارائه شده است. کاگان^۳ و همکاران؛ برای کمی‌سازی تغییرات دینامیکی و انرژی کشنده سطحی M_2 ناشی از تغییرات مکانی ناهمواری بستر دریا در حوزه اروپای شمالی از نسخه تغییریافته مدل سه‌بعدی هیدروستاتیکی اجزاء متناهی QUODDY-4 استفاده کردند [۲]. نتایج این تحقیق نشان داد که در نظر گرفتن تغییرات مکانی ضریب درگ بستری، به بهبود دقت محاسبه دامنه، فاز و سرعت جریان‌های کشنده منجر می‌شود. این مسئله در مجاورت نقاط آمفی درومیک^۴ بیش از سایر مناطق است.

در سال ۱۳۹۱ در قالب طرح پایش و مطالعات شبیه‌سازی سواحل کشور که سازمان بنادر و دریانوری انجام داد، در بخش شبیه‌سازی جریان‌های کشنده در خلیج فارس، دریای عمان و ضریب زبری بستر بر اساس رابطه مانینگ^۵ برای اعمال به مدل مایک ۲۱ در مناطق ساحلی استان هرمزگان موردنیازیابی قرار گرفت. این رابطه که یک رابطه تجربی است به وسیله مانینگ در سال ۱۸۹۰، برای محاسبه جریان

چرخش سرعت در داخل لایه مرزی بستری) متأثر از پنج پارامتر به شرح زیر است:

- دامنه نوسانات سرعت در خارج از لایه مرزی بستر، $|U_{\infty}|$ ؛
- فرکانس نوسانات کشنده، σ ؛
- فرکانس اینرسی، f ؛
- ارتفاع ناهمواری هیدرودینامیکی z_o^r که معادل ناهمواری هیدرودینامیکی نیکورادزه k_s تعیین می‌شود؛
- ضریب ناروانی سینماتیکی سیال v .

با استفاده از تئوری تحلیل ابعادی π می‌توان وابستگی به پارامترهای گفته شده را به سه عدد بی بعد کاهش داد. این اعداد را می‌توان به شکل ترکیب دلخواهی از این پارامترها انتخاب نمود. در این مطالعه از سه پارامتر بی بعد به شرح زیر استفاده شده است [۲۱]:

- عدد ناهمواری رینولدز، $Re^r = |U_{\infty}| z_0^r / v$ ؛
- عدد سطحی راسی، $Ro^r = |U_{\infty}| / (\sigma z_0^r)$ ؛
- فرکانس نسبی اینرسی، f / σ .

انتخاب این پارامترها کاملاً اختیاری است، ولی از آنجاکه ضرایب ارتباط بین این پارامترها در آزمایش‌های صورت گرفته به دست آمده‌اند، در این مطالعه از ضرایب Re^r و Ro^r استفاده می‌شود.

شیوه استخراج قوانین اصطکاک استفاده شده در این مطالعه در مطالعات کاگان [۱۷ - ۱۸] آمده است. به دلیل طولانی بودن مراحل استخراج این قوانین، در اینجا تنها به معرفی آن‌ها پرداخته می‌شود. برای بستر نیمه‌هموار ضریب درگ ک از حل سه معادله زیر محاسبه می‌شود:

$$\begin{aligned} & \left[A^2 + \left(B + \log 2^{-5/2} \kappa + \sqrt{\left(\frac{2^{5/2} \kappa / 2.3}{4 \sqrt{2 c_D}} \right)^2 - C^2} \right)^2 \right]^{1/2} \\ &= \log 2^{-5/2} \kappa - \log \frac{1}{4 \sqrt{2 c_D}} - \log \left(1 + \frac{f}{\sigma} \right) \\ & \quad - \log \left(\frac{1}{Ro^r} + \frac{0.63}{4 \sqrt{2 c_D}} Re^{-1} \right) \end{aligned} \quad (2)$$

بستر از نظر هیدرودینامیکی هموار فرض می‌شود. ضخامت این لایه‌مرزی با رابطه $z = 9U_* / v$ محاسبه می‌شود که در آن U_* دامنه تغییرات سرعت اصطکاکی و v ضریب ناروانی سینماتیکی است. اگر ارتفاع اجزاء ناهمواری همانند از ضخامت لایه یاد شده باشد، بستر نیمه‌هموار و چنانچه ارتفاع اجزاء ناهمواری به طور قابل ملاحظه‌ای از ضخامت لایه ناروان بستری بزرگ‌تر باشد، بستر دریا از نظر هیدرودینامیکی ناهموار در نظر گرفته می‌شود. همچنین به جای سرعت در لایه مرزی بستری، از دامنه نوسانات سرعت در لایه مرزی تلاطمی بستری استفاده می‌شود. رابطه طول ناهمواری برای سطوح هموار و ناهموار هیدرودینامیکی به ترتیب عبارتند از $z_0 = k_s / 30$ و $z_0 = v / 9U_*$ ؛ که $U_* = k_s / 30$ دامنه تغییرات سرعت اصطکاکی، k_s زیری معادل نیکورادزه 6 هستند.

یک روش ساده تعریف $\%_{\text{Z}}$ برای سطح نیمه‌هموار هیدرودینامیکی استفاده از فرمول درون‌یابی است:

$$\frac{Z_0}{Z_0^r} = 1 + \frac{10}{3} Re_*^{-1} \quad (1)$$

این رابطه، مجانب‌های لازم برای سطوح هموار و ناهموار هیدرودینامیکی را دارد. در اینجا $Re_* = U_* k_s / v$ عدد رینولدز لایه مرزی بستری بر حسب دامنه تغییرات سرعت اصطکاکی و زیری معادل نیکورادزه است؛ و z_0^r ارتفاع ناهمواری تعریف شده به وسیله k_s است [۱۸]. این روش ارتباط بین سرعت در لایه مرزی بستری را با مقدار سرعت در قسمت بالایی لایه مرزی به خوبی توصیف می‌کند. با استفاده از این روش نیازی به اعمال نمایه از پیش تعیین شده برای توزیع قائم ویسکوژیته تلاطمی نخواهد بود. علاوه بر این امکان محاسبه تغییر فاز بین تنش بستری و سرعت جریان در خارج از لایه‌مرزی بستری که اغلب از آن چشم‌پوشی می‌شود، نیز فراهم می‌شود. به این ترتیب که فرض شده، در حالت کلی برای بررسی انواع مختلف بستر دریا (از قبل بستر ناهموار، نیمه هموار و هموار)، عواملی که در محاسبه ضریب درگ بستری در لایه مرزی بستر نقش ایفا می‌کنند (دامنه نوسانات سرعت در لایه مرزی U_* ، اختلاف فاز ϕ_0) بین تنش بستر و سرعت در خارج لایه مرزی بستر و زاویه α_0

$$\begin{aligned} & \text{رابطه زیر استفاده می شود:} \\ & \left[A^2 + \left(B + \log 2^{-5/2} \kappa + \sqrt{\frac{\left(2^{5/2} \kappa / 2.3 \right)^2}{4\sqrt{f_w}} - C^2} \right) \right]^{1/2} \quad (6) \\ & = \log 2^{-5/2} \kappa - \log \frac{1}{4\sqrt{f_w}} - \log \left(1 + \frac{f}{\sigma} \right) + \log \text{Ro}^r \end{aligned}$$

در این مطالعه روابط بیان شده در بالا برای محاسبه ضریب درگ بستر در قالب یک مدل مجذعاً نوشته شده و برای محاسبه ضریب درگ بستری به ساختار مدل QUODDY-4 اضافه شد.

۳. تئوری و محاسبات

۳.۱. مدل عددی QUODDY-4

مدل عددی استفاده شده در این مطالعه، یک مدل غیرخطی سه بعدی اجزاء متاهی است که برای مطالعات مربوط به گردش آب های اقیانوسی در دانشگاه دارتموثر به وسیله لینچ^۷ و ورنر^۸ طراحی و بعدها توسط لینچ و همکاران تکمیل شد [۲۶-۲۲]. در این تحقیق نسخه تغیریافته ای از این مدل مورداً استفاده قرار گرفته است. تفاوت نسخه استفاده شده با نسخه اصلی در مدولی است که در این پژوهش به منظور محاسبه توزیع مکانی ضریب درگ بستری نوشته شده و به مدل اضافه شده است.

این مدل با بهره گیری از شبکه نامنظم مثالی در راستای افقی و شبکه منظم در راستای قائم، همچنین با دارا بودن مدول های هارمونیک غیرخطی قابلیت بالایی در بررسی جریان های آشفته اقیانوسی دارد. مدل برای حل معادله های حاکم مانند معادله های پیوستگی و ناویراستوکس از روش باقیمانده وزنی گالرکین^۹ با تقریب های بوسنیسک و هیدروستاتیک استفاده می کند. در این مدل از طرح واره بستار تلاطمی برای نشان دادن اختلاط قائم تکانه، گرمای و جرم استفاده می شود [۲۷]. مدل از آرایه سیگما ارتفاعی برای لایه بندی در راستای قائم بهره می برد.

در مطالعه حاضر داده های موردنیاز برای تهیه شبکه محاسباتی نامنظم برای استفاده در مدل عددی نقشه عمق سنجی با مقیاس

$$\phi_0 = \tan^{-1} \left(A / \sqrt{B + \log 2^{-5/2} \kappa + \sqrt{\frac{\left(2^{5/2} \kappa / 2.3 \right)^2}{4\sqrt{f_w}} - C^2}} \right) \quad (3)$$

$$\alpha_0 = \tan^{-1} \left(C / \sqrt{\frac{\left(2^{5/2} \kappa / 2.3 \right)^2}{4\sqrt{c_D}} - C^2} \right) \quad (4)$$

که در این معادله ها c_D ، ضریب درگ بستری؛ κ ، ثابت فون کارمن؛ ϕ_0 ، اختلاف فاز بین تنش بستری و سرعت جریان در خارج از لایه مرزی بستری؛ α_0 زاویه چرخش سرعت جریان در لایه مرزی بستر و ضرایب A ، B و C ضرایب تناسب هستند که بر اساس اندازه گیری های آزمایشگاهی و میدانی تعیین می شوند. برای تعیین ضرایب تناسب، ابتدا وابستگی تنش بستری به عدد رینولیدز جریان، در حالتی که تنش بستری تابعی از عدد موجی راسیبی، چرخش سرعت در لایه مرزی بستر و تغییر فاز سرعت در این لایه در نظر گرفته می شود، ترسیم شد. از برازش داده های اندازه گیری شده آزمایشگاهی مربوط به جریان [۵، ۶] در لایه مرزی بستر و نمودار ترسیم شده بهترین توافق بین داده های اندازه گیری تجربی و اندازه گیری های آزمایشگاهی، بر اساس رابطه های (۲) تا (۴) در حالتی به دست آمد که مقادیر ضرایب A ، B و C به ترتیب برابر با $0.92/19$ و $1/33$ و $1/17$ باشند [۱۷-۱۸].

رابطه (۱) برای محاسبه ضریب درگ در شرایط حدی وقتی که $\text{Ro}^r \rightarrow \infty$ برای محاسبه ضریب درگ برای بستر هموار با رابطه های (۳) و (۴) به شکل زیر در خواهد آمد:

$$\begin{aligned} & \frac{1}{2} \left[A^2 + \left(B + \log 2^{-5/2} \kappa + \sqrt{\frac{\left(2^{5/2} \kappa / 2.3 \right)^2}{4\sqrt{f_w}} - C^2} \right) \right]^{1/2} \\ & = \frac{1}{2} \left(\log 2^{-5/2} \kappa + 0.20 \right) - \log \frac{1}{4\sqrt{f_w}} - \log \left(1 + \frac{f}{\sigma} \right)^{1/2} \\ & \quad + \log \sqrt{\text{Re}^r} \end{aligned} \quad (5)$$

همچنین در شرایط حدی وقتی که $\text{Re}^r \rightarrow \infty$ برای محاسبه ضریب درگ برای بستر ناهموار با رابطه های (۳) و (۴) از

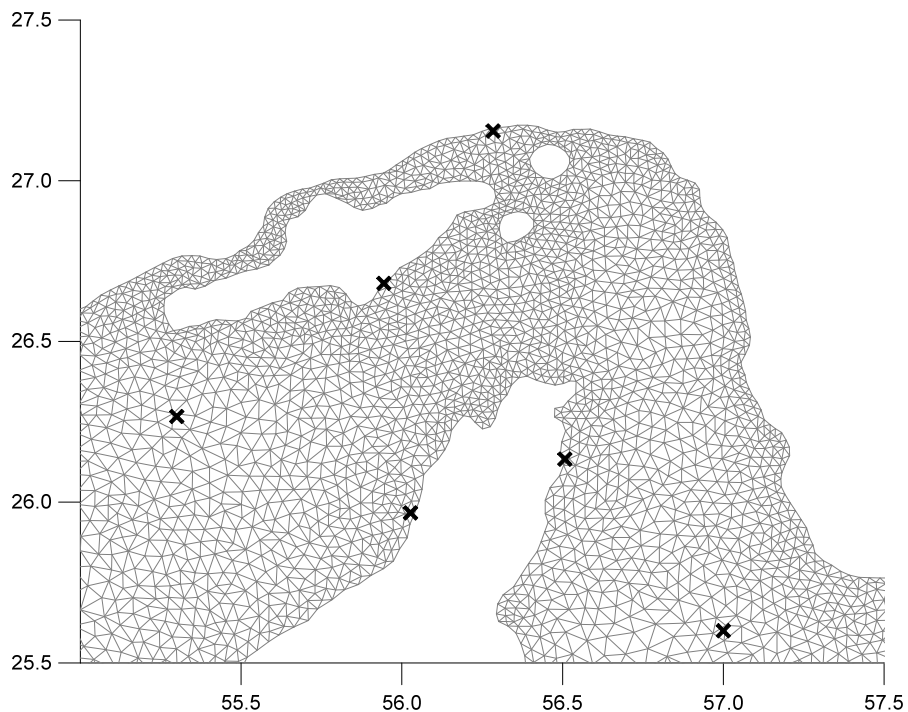
به منظور محاسبه گام زمانی از شرط کورانت به شکل

$$\left|c\right|\frac{\Delta t}{\Delta x} \leq \frac{1}{2p+1}$$

استفاده شد که در آن c سرعت موج کشنده، Δx ابعاد شبکه ثلثی، $k = k - 1$ و $p = k$ مرتبه رانک-کوتای گالرکین ناپیوسته است که برای گسته‌سازی معادله‌های مدل مورداستفاده قرار گرفته است. مناسب‌ترین گام زمانی مقداری است که بین مقادیر متناظر به ازای $p = 0$ و $p = 2$ قرار می‌گیرد [۲۸]. با استفاده از شرط بالا و بر اساس ویژگی شبکه محاسباتی، گام زمانی مورداستفاده در این مطالعه، ۱۰ ثانیه محاسبه و مورداستفاده قرار گرفت.

یک، بست و پنج هزارم از سازمان جغرافیایی نیروهای مسلح تهیه و با نرم‌افزار Arc-GIS رقومی شد. شبکه محاسباتی نامنظم با اجزاء مثلثی نیز با استفاده از نرم‌افزار منبع باز EMC تولید شد (شکل ۲).

این شبکه دربرگیرنده ۷۶۶۴ گره با فواصل متفاوت و ۱۴۱۴۶ جزء مثلثی است. فاصله بین نقاط از ۲۳۰ متر در نزدیک سواحل تا ۵ کیلومتر در مناطق دور از ساحل متغیر است. در راستای قائم محیط موردمطالعه به ۴۱ لایه تقسیم شده است که تراکم لایه‌ها در نزدیکی بستر به منظور بررسی دقیق‌تر سرعت جریان در لایه‌مرزی بستری بیشتر است. به این ترتیب، نوسانات سرعت در لایه‌مرزی بستری در اثر اصطکاک به راحتی قابل محاسبه است.



شکل ۲. شبکه محاسباتی منطقه موردمطالعه تهیه شده با نرم‌افزار EMC

نقاطی که با علامت \times نشان داده شده‌اند، موقعیت ایستگاه‌های اندازه‌گیری تراز آب دریا را نشان می‌دهند.

بسته نرم‌افزاری مطلب برای دسترسی به ترکیبات هارمونیک برای مدل‌های کشنده با گستره وسیع جغرافیایی، پیش‌بینی ارتفاع و جریان کشنده است. این با نک اطلاعاتی قابلیت استخراج دامنه و فاز مؤلفه‌های مختلف کشنده یا پیش‌بینی‌های کشنده به طور جهانی یا منطقه‌ای خاص را دارد و مبتنی بر داده‌های ترازسنجی ماهواره تایپیکس/پوزیدون و

۲-۲. اجرای مدل

به منظور اجرای مدل ابتدا لازم است که شرایط مرزی شامل دامنه و فاز کشنده در مرزهای باز به مدل اعمال شود. به دلیل فقدان ایستگاه‌های اندازه‌گیری در محدوده مرزهای باز، اطلاعات مربوط به دامنه و فاز کشنده در این مرزها از مدل استخراج و مورداستفاده قرار گرفت. این مدل یک TMD است.

بزرگتر از یک خواهد بود. درنتیجه نامساوی $C_{D_3} > C_{D_2}$ صحیح خواهد بود. بر اساس همین ملاحظات است که طراحان مدل QUODDY-4 ضریب پایداری را بیشتر از مقدار استاندارد آن در نظر گرفته‌اند [۴].

از آنجاکه شروع اجرای مدل از نوع سکون آغازی است، لازم است که نتایج مدل پس از گذشت مدت زمان مشخصی با تغییرات نسبی میانگین چگالی انرژی باروتروپیک کمتر از ۵٪ شده و به اصطلاح حالت شبه‌پایا حاصل شده باشد، مورداستفاده قرار گیرند. در این مطالعه شرایط گفته شده بعد از ۱۰ چرخه کشنده از زمان شروع محاسبات حاصل می‌شود.

با توجه به فایل‌های ورودی و تنظیمات انجام گرفته، به منظور محاسبه توزیع مکانی ضریب درگ بستری و استفاده از قوانین اصطکاک بستری که در بخش پیشین مورداشاره قرار گرفتند، باید ارتفاع ناهمواری معادل نیکورادزه از طریق کالیبراسیون مدل برای انواع سه‌گانه بستری تعیین شود. به این منظور پارامترهای زیری مختلف با اندازه‌های $0/0/3$ ، $0/1/3$ ، $0/0/1$ و $0/0/0/1$ (برحسب متر) در نظر گرفته شده و فرض می‌شود که بستر در مناطق کم عمق با عمق کمتر از ۵۰ متر از لحاظ هیدرودینامیکی ناهموار و در مناطق عمیق با عمق بیش از ۵۰ متر نیمه‌هموار است. صحبت این فرض با حساسیت‌سنجی نتایج مدل به ازای مقادیر 100 ، 75 ، 50 ، 25 ، 20 ، 15 و 10 متر نیز موردنبررسی قرار گرفته و دقیق‌ترین مقدار عمق مربوط به مرز بین بستر نیمه‌هموار و ناهموار تعیین شد.

در نهایت پس از انجام شبیه‌سازی‌های عددی متعدد و انتخاب مقادیر بهینه برای ارتفاع ناهمواری هیدرودینامیکی و مرز بحرانی بین مرز ناهموار و نیمه‌هموار، توزیع مکانی ضریب درگ بستری با استفاده از قوانین اصطکاکی بیان و محاسبه شد.

۴. یافته‌ها

چنانچه عنوان شد؛ هدف از این پژوهش محاسبه توزیع مکانی ضریب درگ بستری با استفاده از بازتولید دینامیک کشنده

تلفیق آن‌ها با اطلاعات ثبت شده از ایستگاه‌های ترازو سنگی است.

۳-۳. حساسیت‌سنجی مدل

ابتدا به عنوان آزمایش کنترل، ضریب درگ $0/0/0/3$ برای بازتولید دینامیک کشنده M_2 در تنگه هرمز مورداستفاده قرار گرفت. در اغلب مدل‌های سه‌بعدی از مقدار ثابت $0/0/0/5$ برای ضریب درگ بستری استفاده می‌شود که اندکی از مقدار استاندارد $0/0/0/26$ معرفی شده به وسیله تیلور بیشتر است. دلیل این امر می‌تواند این باشد که میانگین سرعت اتلاف انرژی کشنده (در هر چرخه کشنده) صرف نظر از بعد مدل کشنده باید ثابت باقی بماند. بنابراین اگر مدل دو یا سه‌بعدی باشد، با پارامتریزه کردن تنش بستری با قانون اصطکاک درجه دوم و با در نظر گرفتن اینکه سرعت اتلاف انرژی کشنده در جریان کشنده سه‌بعدی با مجموع سرعت‌های اتلاف در لایه‌مرزی لگاریتمی بستری برابر است، رابطه زیر برای ضرایب پایداری در جریان‌های کشنده سه‌بعدی (C_{D_3}) و دو بعدی (C_{D_2}) به شکل زیر قابل محاسبه خواهد بود [۵]:

$$C_{D_3} = C_{D_2} \frac{\langle |\bar{u}|^3 \rangle}{\langle |u_{100}|^3 \rangle} \quad (7)$$

که در آن \bar{u} سرعت باروتروپیک معادل سرعت میانگین قائم، u_{100} سرعت واقعی (باروتروپیک + باروکلینیک) در لایه لگاریتمی در فاصله 100 سانتی‌متری از بستر بوده و مؤلفه سرعت باروکلینیک به عنوان انحراف سرعت واقعی از مقدار باروتروپیک تعیین می‌شود؛ علامت پرانتز شکسته نیز نشان‌دهنده میانگین گیری در یک چرخه کشنده است. علاوه براین در حالت کلی وقتی بستر دریا نیمه‌هموار باشد، ضریب درگ همراه با دیگر ویژگی‌های لایه‌مرزی بستری تابعی از عدد راسی بستر دریا Ro^r ، عدد رینولدز جریان Re و فرکانس نسبی اینرسی f/σ است. درنتیجه اگر عمق محلی بیشتر از ضخامت لایه‌مرزی بستری تعیین شده با پارامترهای همانندی بدون بعد یکسان شود، نسبت $\langle |\bar{u}| \rangle / \langle |u_{100}| \rangle$ برای مقادیر نوعی سامدهای کشنده

میانگین خطای نسبی برداری برابر با $4/37$ درصد است. در این حالت میانگین خطای مطلق و نسبی دامنه نیز به ترتیب برابر با $3/30$ سانتی متر و $5/12$ درصد بوده و کمترین مقدار خطای را دارند. حال سؤالی به این شکل مطرح می‌شود که فرض اولیه عمق 50 متری به عنوان مرز بین بستر ناهموار و نیمه‌هموار از دید هیدرودینامیکی تا چه حد معتبر است؟

جدول ۱. مقایسه نتایج مدل با مشاهدات میدانی به ازای مقادیر مختلف ارتفاع ناهمواری هیدرودینامیکی

z_0	MAAE (cm)	MRAE (٪)	MRMSAVE (cm)	MRMSRVE (٪)
۰/۰۰۰۱	۳/۹۴	۶/۳۵	۳/۱۳	۴/۷۳
۰/۰۰۱	۳/۳۰	۵/۱۲	۲/۸۲	۴/۳۷
۰/۰۱	۴/۱۲	۶/۳۳	۳/۴۷	۵/۲۵
۰/۱	۴/۷۷	۷/۲۵	۴/۰۷	۶/۰۸
۰/۳	۴/۹۰	۷/۴۳	۴/۲۱	۶/۲۷

برای پاسخ به این سؤال، در ادامه حساسیت مدل عددی به مقادیر گوناگون به عنوان مرز بین بستر ناهموار و نیمه‌هموار موردنرسی قرار گرفت. به این ترتیب که مقادیر 100 ، 75 ، 50 ، 30 ، 25 ، 20 و 10 متر به عنوان حائل بین این دو نوع بستر در محاسبات مجدد مورد آزمایش قرار گرفتند. نتایج این محاسبات و مقایسه نتایج مربوطه در جدول (۲) ارائه شده‌اند. چنانچه از جدول (۲) قابل مشاهده است، به ازای تغییر مرز بحرانی بین این دو نوع بستر در عمل تغییر ویژه‌ای در محاسبات صورت نمی‌گیرد. به این ترتیب که وقتی عمق بحرانی از 100 متر به 25 متر کاهش پیدا می‌کند؛ خطای محاسباتی مربوط به دامنه‌های کشنده مدل نسبت به ایستگاه‌های اندازه‌گیری تقریباً یکسان است؛ اما در عمق کمتر از 25 متر این اختلاف به مقدار جزئی کاهش می‌یابد. این کاهش جزئی با ادامه کاهش عمق بحرانی به 10 متر دوباره با افزایش جزئی همراه است.

نیمروزانه M_2 با استفاده از یک راهکار هیدرودینامیکی است. برای دستیابی به این هدف چندین شبیه‌سازی عددی-همان‌گونه که در بخش پیشین اشاره شد - در دستور کار قرار گرفت. برای مقایسه نتایج شبیه‌سازی‌های انجام‌شده با داده‌های اندازه‌گیری شده تراز آب دریا از پارامترهای میانگین خطای برداری مطلق (MRMSAVE^{۱۱})، میانگین خطای مطلق دامنه برداری نسبی (MRMSRVE^{۱۲})، میانگین خطای مطلق دامنه (MRAE^{۱۳}) و میانگین خطای نسبی دامنه (MAAE^{۱۴}) با

تعاریف زیر استفاده شد:

$$MRMSAVE =$$

$$\frac{1}{N} \sum_n \frac{1}{\sqrt{2}} \sqrt{A_{on}^2 + A_{mn}^2 - 2A_{on}A_{mn} \cos(\phi_{on} - \phi_{mn})} \quad (8)$$

$$MRMSRVE =$$

$$\frac{1}{N} \sum_n \frac{1}{\sqrt{2}} \sqrt{\frac{A_{on}^2 + A_{mn}^2 - 2A_{on}A_{mn} \cos(\phi_{on} - \phi_{mn})}{A_{on}}} \quad (9)$$

$$MAAE = \frac{1}{N} \sum_n |A_{on} - A_{mn}| \quad (10)$$

$$MRAE = \frac{1}{N} \sum_n \frac{|A_{on} - A_{mn}|}{A_{on}} \quad (11)$$

که در آن A_{on} ، ϕ_{on} ، A_{mn} و ϕ_{mn} به ترتیب دامنه و فاز کشنده نیمروزانه M_2 در n امین ایستگاه اندازه‌گیری و مقادیر متناظر محاسبه شده با مدل هستند.

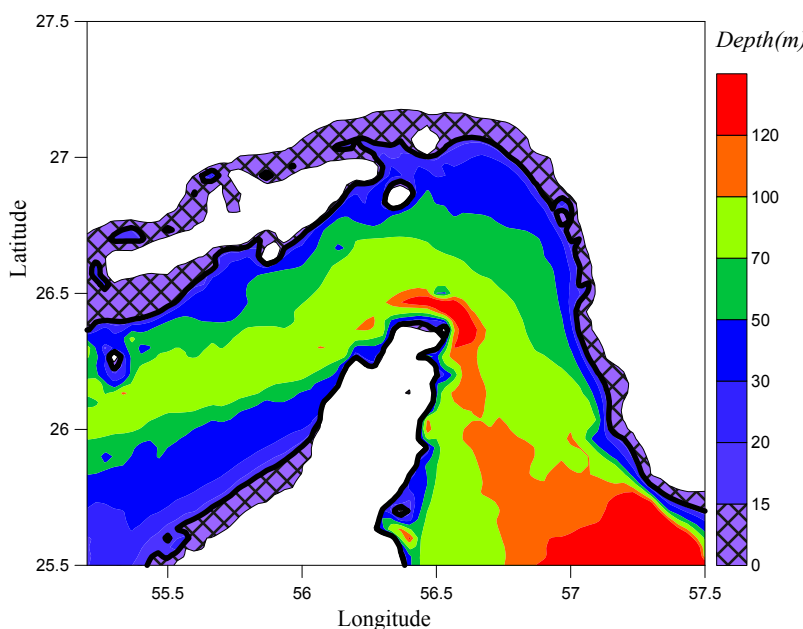
با در نظر گرفتن عمق 50 متر (با ایده اولیه از مطالعات استبرگ) به عنوان عمق بحرانی (مرز بین بستر هموار و نیمه‌هموار)، همچنین مقادیر مختلف ارتفاع ناهمواری به ازای مرحله در پنج مرحله اجرا شد. نتایج مقایسه‌ای محاسبات مدل با مشاهدات میدانی در هر مرحله در جدول (۱) خلاصه شده‌اند.

همان‌گونه که از جدول پیداست، بازسازی دینامیک کشنده در منطقه مورد مطالعه، هنگامی که ارتفاع ناهمواری در مناطق با عمق کمتر از 50 متر به عنوان ارتفاع ناهمواری هیدرودینامیکی معادل نیکورادزه برابر با $0/001$ در نظر گرفته می‌شود، به نتایج بهتری می‌انجامد. در این حالت میانگین خطای مطلق برداری برای دامنه برابر $2/80$ سانتی متر و

بدین ترتیب چنین نتیجه می شود که آنچه در استفاده از قوانین اصطکاک کاگان برای محاسبه توزیع مکانی ضریب درگ بستری اهمیت بالایی دارد، ارتفاع ناهمواری در نظر گرفته شده متناسب با ناهمواری نیکورادزه است نه محل قرار گیری خط حائل بین دو نوع بستر متفاوت از نظر هیدرودینامیکی؛ بنابراین به طور کلی و با استناد به نتایج شبیه سازی های صورت گرفته، می توان چنین نتیجه گیری نمود که در حالتی که عمق ۱۵ متری (شکل ۳) به عنوان مرز حائل بین بستر ناهموار و نیمه هموار در نظر گرفته می شود و ارتفاع ناهمواری هیدرودینامیکی معادل ۰/۰۰۱ متر برای محاسبه ضریب درگ برای بستر ناهموار مورد استفاده قرار می گیرد، خطای کمتری در نتایج شبیه سازی عددی با اندازه گیری های میدانی مشاهده می شود.

جدول ۲. خطای میانگین مطلق دامنه ها به ازای پارامترهای زیری متفاوت

پارامتر (متر)	MAAE (cm)	MRAE (درصد)	MRMSAVE (cm)	MRMSRVE (درصد)
۱۰۰	۳/۳	۵/۱۳	۲/۸۲	۴/۳۷
۷۵	۳/۳	۵/۱۳	۲/۸۲	۴/۳۷
۵۰	۳/۳	۵/۱۳	۲/۸۱	۴/۳۷
۳۰	۳/۳	۵/۱۳	۲/۸۱	۴/۳۷
۲۵	۳/۳	۵/۱۲	۲/۸۲	۴/۳۶
۲۰	۳/۲۸	۵/۱۲	۲/۸۱	۴/۳۵
۱۵	۳/۲۸	۵/۱۲	۲/۸۰	۴/۳۵
۱۰	۳/۲۸	۵/۱۰	۲/۸۰	۴/۳۶



شکل ۳. نقشه عمق سنجی تنگه هرمز. خط سیاه پرنگ حائل بین بستر ناهموار و نیمه هموار را نشان می دهد.

مناطق نمایش داده شده با هاشور مشکی، نقاط با ضریب ناهمواری ۰/۰۰۱ متر را نشان می دهند.

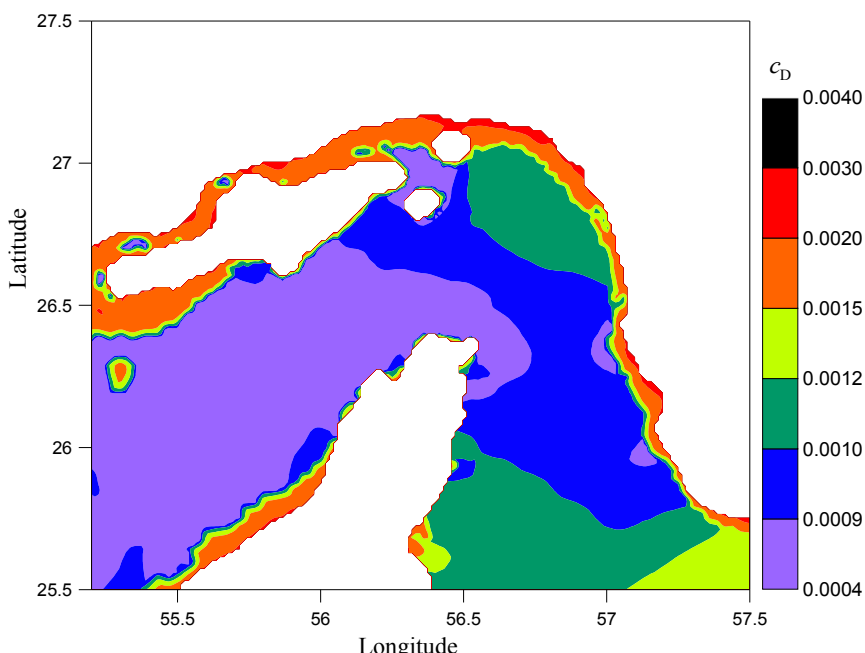
در نزدیک خطوط ساحلی ایران کمی بیشتر و برابر ۰/۰۰۱۵ و ۰/۰۰۲ محاسبه می شود. در واقع ضریب درگ بستری در این منطقه از مقدار ثابت ۰/۰۰۵ و حتی ۰/۰۰۳ (ثابت تیلور) که به عنوان پیش فرض در اغلب مدل های عددی مورد استفاده قرار می گیرد، نیز کوچک تر است [۲۹]. این مسئله با تکرار شبیه سازی عددی در حالت استفاده از ضریب درگ ثابت در منطقه مورد مطالعه، به ازای مقدار ۰/۰۰۳ تأمل بیشتری را

بعد از انجام چندین شبیه سازی عددی به منظور انتخاب بهینه ترین مقادیر لازم برای استفاده از قوانین اصطکاک شرح داده شده در بخش مواد و روش ها، با استفاده از قوانین یادشده توزیع مکانی ضریب درگ در منطقه مورد مطالعه محاسبه شد (شکل ۴).

همان گونه که در شکل ۴ مشهود است در اکثر مناطق دور از ساحل و در مناطق عمیق تر درگ اصطکاک برابر ۱ و

همخوانی دارد [۲۱]. با وجود این با نتایج به دست آمده در حوزه اروپای شمالی که در مطالعات مشابه بهوسیله کاگان و همکاران صورت گرفته است، تطابق ندارد [۳]. دلیل این امر می‌تواند با ویژگی‌های مورفودینامیکی و هیدرودینامیکی تنگه هرمز با دریای بارنتس و گرینلاند مرتبط باشد.

مطالبه می‌کند. بدین ترتیب به نظر می‌رسد که حتی به کار بردن ضریب درگ ثابت در مدل‌های عددی برای منطقه موردمطالعه به منظور پیش‌بینی‌های کشنیدی به دقت بیشتری نیاز دارد و انجام حساسیت‌سنجی مدل‌های عددی به این ضریب باستی مدنظر قرار گیرد. نتایج حاصل از این پژوهش با مطالعات پیشین کاگان و همکاران در دریای سفید



شکل ۴. توزیع مکانی ضریب درگ محاسبه شده در تنگه هرمز

مقایسه نتایج شبیه‌سازی‌های عددی صورت گرفته با مشاهدات میدانی بهمنظور محاسبه توزیع مکانی ضریب درگ بستری در منطقه موردمطالعه نشان داد که در حالتی که مناطق با عمق کمتر از ۱۵ متر از نظر هیدرودینامیکی نیمه‌هموار قلمداد شوند؛ با در نظر گرفتن ارتفاع ناهمواری هیدرودینامیکی معادل نیکورادزه برابر با ۰/۰۰۱ به نتایج بهتری در محاسبه دامنه و فاز کشنیدی می‌انجامد. با توجه به این که ضریب درگ بستری در منطقه موردمطالعه از ۰/۰۰۰۶ تا ۰/۰۰۰۴ تغییر می‌کند، نتایج این پژوهش ضرورت حساسیت‌سنجی مدل‌های عددی پیش‌بینی کشنیدی را حتی در صورت استفاده از مقادیر ثابت (در مکان) در تنگه هرمز مورد تأکید قرار می‌دهد.

۵. نتیجه‌گیری

برای محاسبه توزیع مکانی ضریب درگ بستری در تنگه هرمز از نسخه اصلاح شده مدل سه بعدی هیدرورستاتیکی اجزاء متناهی QUODDY-4 استفاده شد. تفاوت این نسخه با نسخه اصلی در مدلولی است که وابستگی ضریب درگ به پارامترهای مؤثر بر سرعت اصطکاکی را در لایه‌مرزی بستری توصیف می‌کند. بدین ترتیب ویژگی‌های اصطکاکی لایه‌مرزی بستر شامل جابه‌جایی فاز بین تنش بستری و سرعت جریان خارج از لایه‌مرزی بستر، همچنین زاویه چرخش بردار سرعت در لایه‌مرزی بستری -با در نظر داشتن لگاریتمی بودن پروفیل سرعت در این لایه- و قسمت خارجی لایه‌مرزی بستری، بدون نیاز به تعیین پروفیل ویسکوزیته تلاطمی قائم پیش‌فرض، مورد ملاحظه قرار گرفتند.

مراجع

- Continental Shelf Research. 2002 Feb 1;22(3):465-84.
- [12] Lu X, Zhang J. Numerical study on spatially varying bottom friction coefficient of a 2D tidal model with adjoint method. *Continental Shelf Research*. 2006;26:1905-23.
- [13] Aldridge JN, Davies AM. A high-resolution three-dimensional hydrodynamic tidal model of the Eastern Irish Sea. *Journal of Physical Oceanography*. 1993 Feb;23(2):207-24.
- [14] Wang Q. Finite element modeling of tides and currents of the Pascagoula River [dissertation]. Florida: Univ. Central Florida Orlando; 2008. 143 p.
- [15] سازمان بنادر و دریانوردی کشور. پژوهه شیوه سازی جریان های جزر و مدی (خليج فارس و دریای عمان) در آبهای مقابل سواحل استان هرمزگان. تهران: سازمان بنادر و دریانوردی کشور؛ ۱۳۹۱.
- [16] رنجی زهراء، سلطانپور محسن. تدقیق مدل هیدرودینامیک جریان خلیج فارس با استفاده از واسنجی خودکار. ارائه شده در: بیانیه همایش بین المللی سواحل، بنادر و سازه های دریایی. ۱۳۹۳ آذر ۴-۵؛ تهران، ایران.
- [17] Kagan BA. On the resistance law for an oscillatory, rotating, rough turbulent flow. *Izvestiya Atmospheric and Oceanic Physics*. 2003;1; 39(6): 754-7.
- [18] Kagan BA. On the resistance law for an oscillatory rotating turbulent bottom boundary layer over incompletely rough and smooth surfaces. *Izvestiya Atmospheric and Oceanic Physics*. 2005 Nov 1;41(6):768-74.
- [19] Kagan BA, Romanenkov DA. Effect of hydrodynamic properties of the sea bottom on the tidal dynamics in a rectangular basin. *Izvestiya, Atmospheric and Oceanic Physics*. 2006 Dec 1;42(6):777-84.
- [20] Kagan BA, Timofeev AA. Dynamics and energetics of surface and internal semidiurnal tides in the White Sea.
- [1] صدری نسب مسعود. مدل سازی عددی سه بعدی گردش آب در تنگه هرمز. اقیانوس شناسی. ۱۳۸۹؛ ۱(۱): ۲۴-۱۹.
- [2] Reynolds RM. Physical oceanography of the Gulf, Strait of Hormuz, and the Gulf of Oman—Results from the Mt Mitchell expedition. *Marine Pollution Bulletin*. 1993 Jan 1;27:35-59.
- [3] Kagan BA, Sofina EV, Rashidi E. The impact of the spatial variability in bottom roughness on tidal dynamics and energetics, a case study: the M 2 surface tide in the North European Basin. *Ocean Dynamics*. 2012 Dec 1;62(10-12):1425-42.
- [4] Kagan BA, Sofina EV, Rashidi EHA. Influence of the White Sea on Tides in Adjacent Marginal Seas of the North European Basin. *Izvestiya Atmospheric and Oceanic Physics*. 2013; 49: 107-123.
- [5] Marchuk GI, Kagan BA. *Dynamics of Ocean Tides*. Leningrad: Gidrometeoizdat; 1991.
- [6] Sternberg RW. Friction factors in tidal channels with differing bed roughness. *Marin Geology*. 1993; 6: 243-260.
- [7] Sternberg RW. Predicting initial motion and bedload transport of sediment particles in the shallow marine environment, *Shelf Sediment Transport*. Strasburg: Dowden, Hutchison and Ross Inc; 1972.
- [8] Jonsson IG. A new approach to oscillatory rough turbulent boundary layers. *Ocean Engineering*. 1980 Jan 1;7(1):109-52.
- [9] Heathershaw AD. Measurements of turbulence in the Irish Sea benthic boundary layer. In: McCave IN, editor. *The Benthic Boundary Layer*. Boston. Springer; 1976. p.11-31
- [10] He Y, Lu X, Qiu Z, Zhao J. Shallow water tidal constituents in the Bohai Sea and the Yellow Sea from a numerical adjoint model with TOPEX/Poseidon altimeter data. *Continental Shelf Research*. 2004; 24: 1521-29.
- [11] Heemink AW, Mouthaan EE, Roest MR, Vollebregt EA, Robaczewska KB, Verlaan M. Inverse 3D shallow water flow modelling of the continental shelf.

بی‌نوشت

1. Teylor
2. Irish sea
3. Kagan
4. Amphidromic points
5. Manning's equation
6. Nikuradze equivalent roughness
7. Lynch
8. Werner
9. Galerkin weak form
10. Tide Model Driver(TMD)
11. The Mean RMS Absolute Vector Error (MRMSAVE)
12. The Mean RMS Relative Vector Error (MRMSRVE)
13. The Mean Absolute Amplitude Error (MAAE)
14. The Mean Relative Amplitude Error (MRAE)

Izvestiya Atmospheric and Oceanic Physics. 2005;41:498-512.

- [21] Kagan BA, Timofeev AA, Rashidi EHA. Effect of Spatial Inhomogeneity of the Resistance Coefficient on the Dynamics of the M2 Tidal Wave in the White Sea. Izvestiya Atmospheric and Oceanic Physics. 2012;48:487-500.
- [22] Ip JT, Lynch DR. Comprehensive Coastal Circulation Simulation using Finite Elements: Nonlinear Prognostic Time-Stepping Model. QUODDY3 User's Manual. USA: Thayer School of Engineering at Dartmouth College; 1995 May 12. Report No. NML95-1
- [23] Lynch DR. Three-dimensional diagnostic model for baroclinic, wind-driven and tidal circulation in shallow seas. FUNDY 4 User's Manual. Hanover: USA: Thayer School of Engineering at Dartmouth College; 2005.
- [24] Lynch DR, Werner FE. Three-dimensional hydrodynamics on finite elements. Part I: Linearized harmonic model. International Journal for Numerical Methods in Fluids. 1987 Sep 1;7(9):871-909.
- [25] Lynch DR, Werner FE. Three-dimensional hydrodynamics on finite elements. Part II: Non-linear time-stepping model. International Journal for Numerical Methods in Fluids. 1991 Apr 5;12(6):507-33.
- [26] Lynch DR, Werner FE, Greenberg DA, Loder JW. Diagnostic model for baroclinic and wind-driven circulation in shallow seas. Continental Shelf Research. 1992;12:37-64.
- [27] Dolbow J, Belytschko T. Numerical integration of the Galerkin weak form in meshfree methods. Computational Mechanics. 1999;23(3): 219-230.
- [28] Kubatko EJ, Dawson C, Westerink JJ. Time step restrictions for Runge-Kutta discontinuous Galerkin methods on triangular grids. Journal of Computational Physics. 2008 Dec 1;227(23):9697-710.
- [29] Taylor GI. Tidal friction in the Irish Sea. London: Philosophical Transactions of the Royal Society; 1919.